

## 氢氧化物盐插层材料的制备和表征

刘洁翔<sup>\*1</sup> 张永清<sup>1</sup> 张晓光<sup>\*2</sup> 王建龙<sup>1</sup> 赵凌峰<sup>1</sup> 杨津<sup>1</sup> 王瑞<sup>1</sup>

(<sup>1</sup>河北工业大学化工学院,天津 300130)

(<sup>2</sup>南开大学化学学院,天津 300071)

**摘要:**以层状氢氧化锌硝酸盐(Zn-LHS)和氢氧化镍锌硝酸盐(NiZn-LHS)为主体,采用共沉淀和离子交换法制备十二烷基苯磺酸根离子(DBS)和碘丁基醚-β-环糊精(SBE-β-CD)插层氢氧化物盐(Zn-LHS-DBS 和 NiZn-LHS-SBE-β-CD),系统考察客体阴离子浓度和 pH 值等因素对插层材料超分子结构的影响,并用 XRD、FT-IR、TG-DTA 和 SEM 对其结构、热稳定性和形貌等进行表征。结果表明,采用共沉淀法在 DBS 浓度为 0.19~0.38 mol·L<sup>-1</sup>,pH=6.0~7.0,水热温度 60~100 ℃条件下合成晶型单一且结构完整 Zn-LHS-DBS;采用离子交换法可合成结构完整 NiZn-LHS-SBE-β-CD;无论离子交换还是共沉淀法都不能合成单一晶型 Zn-LHS-SBE-β-CD,这可能与 SBE-β-CD 分子结构以及 Zn-LHS 水热稳定性差有关。此外,由于氢氧化物盐层板和客体间存在超分子作用而导致 DBS 和 SBE-β-CD 在层间具有较高热稳定性。

**关键词:** 氢氧化锌硝酸盐; 氢氧化镍锌硝酸盐; 十二烷基苯磺酸钠; 碘丁基醚-β-环糊精; 热稳定性

中图分类号: O641.81<sup>+</sup>3; O641.24<sup>+</sup>1 文献标识码: A 文章编号: 1001-4861(2014)04-0837-08

DOI:10.11862/CJIC.2014.129

## Preparation and Characterization of Intercalation Materials with Layered Hydroxide Salts (LHS)

LIU Jie-Xiang<sup>\*1</sup> ZHANG Yong-Qing<sup>1</sup> ZHANG Xiao-Guang<sup>\*2</sup> WANG Jian-Long<sup>1</sup>  
ZHAO Ling-Feng<sup>1</sup> YANG Jin<sup>1</sup> WANG Rui<sup>1</sup>

(<sup>1</sup>School of Chemical Engineering, Hebei University of Technology, Tianjin 300130, China)

(<sup>2</sup>College of Chemistry, Nankai University, Tianjin 300071, China)

**Abstract:** Intercalation of dodecyl benzene sulphonate (DBS) and sulfobutyl ether β-cyclodextrin (SBE-β-CD) into layered zinc hydroxide nitrate (Zn-LHS) and nickel/zinc hydroxide nitrate (NiZn-LHS) was synthesized by coprecipitation and ion-exchanged methods. The effect of anion concentration and pH value on preparation was systematically investigated and compared. The products were characterized by X-ray powder diffraction (XRD), Fourier transform infrared spectroscopy (FT-IR), and thermogravimetry and differential thermal analysis (TG-DTA), and scanning electron microscope (SEM). The results showed that Zn-LHS-DBS with pure phase and good crystallinity was obtained at DBS concentration of 0.19~0.38 mol·L<sup>-1</sup>, pH=6.0~7.0, temperature of hydrothermal treatment of 60~100 ℃ by coprecipitation method. The NiZn-LHS-SBE-β-CD with good structure was prepared by ion-exchanged method. Zn-LHS-SBE-β-CD with pure phase was not successfully prepared by both coprecipitation and ion-exchanged method due to the particular structure of SBE-β-CD and poor hydrothermal

收稿日期:2013-09-15。收修改稿日期:2013-11-18。

河北省自然科学基金(No.B2011202118)、山东大学胶体与界面化学教育部重点实验室开放课题(No.201202)、河北省高等学校科学技术研究项目(No.QN20131050)、“大学生创新创业训练计划”国家级项目(No.201310080018)资助项目。

\*通讯联系人。E-mail:jxliu@hebut.edu.cn,xgzhang@nankai.edu.cn;Tel:022-60204997

stability of Zn-LHS. Furthermore, TG-DTA data indicated that stability of SBE- $\beta$ -CD and DBS improved distinctly in the interlayer due to the strong supra-molecular interaction existed between anions and hostlayer of LHS.

**Key words:** zinc hydroxide nitrate; nickel/zinc hydroxide nitrate; dodecyl benzene sulphonate; sulfobutyl ether  $\beta$ -cyclodextrin; thermostability

## 0 引言

层状氢氧化物盐 (layered hydroxide salts, LHS) 和层状双氢氧化物 (layered double hydroxides, LDH) 是两种典型层状阴离子材料, 它们均能提供一个高度灵活的二维层间, 可容纳各种生物和有机分子等形成有机-无机功能杂化材料。这种杂化材料具有优良的协同效应, 在保持主体和客体各自独特性质的同时, 无机主体层板对客体分子还起稳定作用。氢氧化物盐(LHS)通式为:  $M^{2+}_{1-y}Me^{2+}_y(OH)_{2-x}(A^{m-})_{x/m} \cdot nH_2O$ ( $M^{2+}$ 和  $Me^{2+}$ 为二价金属离子如  $Mg^{2+}$ 、 $Zn^{2+}$ 、 $Co^{2+}$  和  $Cu^{2+}$  等,  $A^{m-}$  为阴离子如  $Cl^-$ 、 $NO_3^-$ 、 $SO_4^{2-}$  和  $CH_3COO^-$  等)。LHS 结构与 LDH 相似, 它也具有良好的晶内反应、离子交换及催化性能等。然而, 通过文献检索发现关于 LHS 合成、结构表征及其应用等方面的研究远少于 LDH。虽然 LHS 层间阴离子的交换能力早为人熟知, 但关于 LHS 插层化学近年来才引起人们广泛关注<sup>[1-8]</sup>。

与 LDH 相比, LHS(如氢氧化锌盐[Zn-LHS])合成方法相对简单、具有高的离子交换能力和高的电荷密度等特点<sup>[2]</sup>, LHS 容纳客体分子的能力更大, 基于 LHS 插层材料的热稳定性、缓释性能等更优。如冬氨酸在 Zn-LHS 中热稳定性明显高于 ZnAl-LDH<sup>[1]</sup>; 4-氯苯甲酸根离子和 4-氯苯磺酸根离子在 Zn-LHS 和 Zn-Cr-LDH 中作用强度顺序正好相反<sup>[3]</sup>。韩国 Choy 课题组<sup>[4-6]</sup>将 3-吲哚乙酸(IAA)、*p*-香豆酸(pCA)和咖啡酸(CA)插层到 Zn-LHS 制得纳米杂化材料。相比 ZnAl-LDH-IAA, IAA 在 Zn-LHS-IAA 中释放速率更慢, 这是由于 IAA 分子中羧基和 LHS 晶格中未饱和  $Zn(OH)_3$  单元配位成键以及高的层板电荷密度共同作用所导致。杂化材料中 pCA 显现出更高抗氧化活性, Zn-LHS-CA 杂化材料的紫外屏蔽能力明显提高。另外, 药物布洛芬和双氯芬酸及农药 2,4,5-三氯苯氧基乙酸(2,4,5-T)<sup>[7]</sup>、4-(2,4-二氯苯氧基)丁酸(DPBA)<sup>[8]</sup>插层 Zn-LHS 的杂化材料显著提高了缓释效果。

阴离子作为插层客体较易插入 LHS 层间。然

而, 如何将中性分子引入 LHS 层间制备杂化材料呢? 目前常采用两种方法: 一种是利用阴离子型表面活性剂如十二烷基苯磺酸钠(DBS)和十二烷基硫酸钠(SDS)等首先柱撑 LDH, 然后将中性分子引入层间<sup>[9]</sup>; 另一种是利用环糊精(CD)疏水性空腔包结十二烷基苯(DDB)<sup>[10]</sup>、药物分子 5-氟尿嘧啶(5-FU)、哌唑嗪<sup>[11]</sup>等中性分子然后插层 LDH。然而有关 CD 和 DBS 插层 LHS 制备杂化材料的系统研究甚少<sup>[12]</sup>。本文选择磺丁基醚- $\beta$ -环糊精(SBE- $\beta$ -CD)和 DBS 为客体, 以层状氢氧化锌硝酸盐(Zn-LHS)和氢氧化镍锌硝酸盐(NiZn-LHS)为主体, 采用共沉淀法和离子交换法合成 Zn-LHS 和 NiZn-LHS 插层材料, 系统考察客体阴离子浓度、pH 值、反应物浓度、晶化温度和时间等因素对杂化材料结构的影响, 优化合成条件, 并对其晶体结构、热稳定性和形貌进行表征。

## 1 实验部分

### 1.1 试剂和仪器

硝酸锌(AR)和硝酸镍(AR), 天津市科密欧化学试剂有限公司; 氢氧化钠(AR), 天津市北方天医化学试剂厂; 磺丁基醚- $\beta$ -环糊精(SBE- $\beta$ -CD), 山东滨州智源生物科技有限公司; 十二烷基苯磺酸钠(DBS)(AR), 中国医药集团上海化学试剂公司。采用 D8 Foucas 型 X-射线衍射仪对样品进行物相分析,  $Cu K\alpha (\lambda = 0.154 056 \text{ nm})$ , 管电压 40.0 kV, 管电流 40.0 mA, 扫描速率为  $6^\circ \cdot \text{min}^{-1}$ ,  $2\theta$  范围为  $2^\circ \sim 80^\circ$ ; 用德国 Bruker 公司 Tensorn 27 型傅立叶变换红外光谱仪测定样品的红外光谱, KBr 压片法 (样品与 KBr 质量比为 1:100), 测检范围  $4 000 \sim 400 \text{ cm}^{-1}$ ; 用美国 TA 公司 SDT Q600 同步热分析仪测定样品的热分解行为, 空气气氛下, 升温速率为  $10 \text{ }^\circ\text{C} \cdot \text{min}^{-1}$ , 温度范围为  $20 \sim 800 \text{ }^\circ\text{C}$ ; 用日本日立公司 S-4800 型扫描电子显微镜(SEM)上观察样品的形貌尺寸大小分布。

### 1.2 氢氧化物盐及其插层材料的制备

#### 1.2.1 共沉淀法

Zn-LHS 和 NiZn-LHS 合成:  $N_2$  保护下, 将 0.5

$\text{mol}\cdot\text{L}^{-1}$  氢氧化钠溶液滴加到 20 mL 1  $\text{mol}\cdot\text{L}^{-1}$  硝酸锌或 10 mL 0.5  $\text{mol}\cdot\text{L}^{-1}$  硝酸锌和 10 mL 0.5  $\text{mol}\cdot\text{L}^{-1}$  硝酸镍混合溶液中, 剧烈搅拌, 调节 pH=6.5, 滴加结束后继续搅拌 0.5 h, 之后将浆液转入反应釜于 100 °C 晶化 3 h, 产物经过抽滤、洗涤, 于烘箱 80 °C 干燥 12 h, 样品分别记作 Zn-LHS 和 NiZn-LHS。

Zn-LHS-DBS 合成:  $\text{N}_2$  保护下, 将 0.5  $\text{mol}\cdot\text{L}^{-1}$  氢氧化钠溶液和 20 mL 0.5  $\text{mol}\cdot\text{L}^{-1}$  硝酸锌溶液同时滴加到浓度为 0.096~0.38  $\text{mol}\cdot\text{L}^{-1}$  DBS 水溶液中, 剧烈搅拌, 调节 pH=6.5, 滴加完毕后继续搅拌 0.5 h, 之后将浆液转入反应釜于 100 °C 晶化 3 h, 产物经过抽滤、洗涤, 于烘箱中 80 °C 干燥 12 h, 样品记作 Zn-LHS-DBS。

Zn-LHS-SBE- $\beta$ -CD 和 NiZn-LHS-SBE- $\beta$ -CD 合成:  $\text{N}_2$  保护下, 将分别含 0.2、0.5、0.75 和 1.0 g SBE- $\beta$ -CD 水溶液和 0.5  $\text{mol}\cdot\text{L}^{-1}$  氢氧化钠溶液同时滴加到 20 mL 0.5  $\text{mol}\cdot\text{L}^{-1}$  硝酸锌或 0.5  $\text{mol}\cdot\text{L}^{-1}$  硝酸锌和 0.5  $\text{mol}\cdot\text{L}^{-1}$  硝酸镍混合溶液中, 剧烈搅拌, 控制 pH=6.5, 滴加完毕后继续搅拌 0.5 h, 之后将浆液转入反应釜于 100 °C 晶化 3 h, 产物经过抽滤、洗涤, 于烘箱中 60 °C 干燥 12 h, 样品分别记作 Zn-LHS-SBE- $\beta$ -CD 和 NiZn-LHS-SBE- $\beta$ -CD。

### 1.2.1 离子交换法

取 0.5 g Zn-LHS 与 1.5 g DBS 在 30 °C 或取 0.5 g NiZn-LHS 与 0.5 g SBE- $\beta$ -CD 在 80 °C 进行交换反应 48 h, 控制 pH=6.5, 强烈搅拌,  $\text{N}_2$  保护, 产物经过滤、洗涤, 于烘箱中 80 °C 干燥 24 h。

## 2 结果与讨论

### 2.1 Zn-LHS-DBS 制备及其超分子结构

首先在 pH=6.5、晶化温度 60 °C 和时间 3 h 条件下, 采用共沉淀法制备一系列不同 DBS 浓度的 Zn-LHS-DBS 插层产物, 其 XRD 结果见图 1。由图可知, 当 DBS 浓度为 0 时, 样品具有典型  $\text{Zn}_5(\text{OH})_8(\text{NO}_3)_2 \cdot 2\text{H}_2\text{O}$ (Zn-LHS) 层状结构(PDF No.24-1460), 其对应的层间距为 0.95 nm。当 DBS 浓度为 0.019 mol·L<sup>-1</sup> 时, 样品仍具有典型单一 Zn-LHS 层状结构, 但衍射峰强度明显降低, 其层间距略有增大; DBS 浓度为 0.096 mol·L<sup>-1</sup> 时, 样品出现 Zn-LHS-DBS 层状结构, 3 个特征衍射峰分别出现在  $2\theta$  为 2.8°、5.5° 和 8.4° 附近, 对应层间距为 3.15 nm, 表明 DBS 离子成功插层; 当 DBS 浓度为 0.19、0.23、0.30 和 0.38 mol·L<sup>-1</sup> 时, 样品具有典型单一 Zn-LHS-DBS

结构, 但随着 DBS 浓度增大, 样品外观呈明显胶状, 这可能与过多 DBS 离子在表面被吸附有关。因此, 本文选择 DBS 最佳浓度为 0.23 mol·L<sup>-1</sup>。

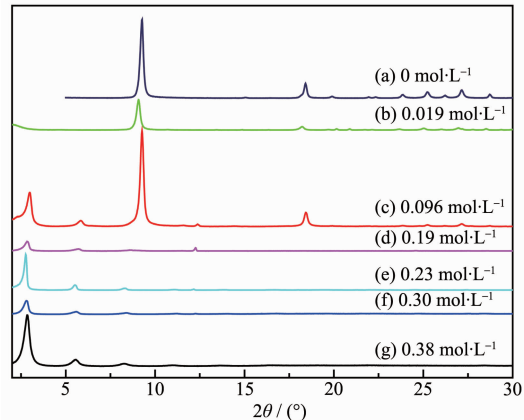


图 1 不同 DBS 浓度合成 Zn-LHS-DBS 的 XRD 谱图

Fig.1 XRD patterns of Zn-LHS-DBS prepared at different concentrations of DBS

其次, 选择 DBS 浓度为 0.23 mol·L<sup>-1</sup>, 考察不同 pH 值和晶化温度对合成 Zn-LHS-DBS 插层产物结构的影响。由于 pH 值大于 8.0 时, 产物将会伴有  $\text{ZnO}$  的生成<sup>[13]</sup>, 因此本实验在晶化温度 60 °C 下考察 pH=6.0、6.5 和 7.0 对合成产物的影响。结果表明, 样品在所研究 pH 值条件下均具有典型单一 Zn-LHS-DBS 结构, 但 pH=6.5 时合成的样品结晶度最好(图未给出)。另外, 控制 pH=6.5, 在所研究的晶化温度 60~100 °C 范围, 样品都具有典型单一 Zn-LHS-DBS 层状结构(图未给出)。

此外, 采用离子交换法在 30 和 60 °C 制备 Zn-LHS-DBS 插层材料。XRD 结果表明, 30 °C 制备样品出现 Zn-LHS-DBS 结构, 3 个特征衍射峰分别出现在  $2\theta$  为 2.6°、5.1° 和 7.6° 附近, 对应层间距为 3.53 nm。此外, 样品仍出现 Zn-LHS(见图 2), 表明该条件下 Zn-LHS 中  $\text{NO}_3^-$  不能完全被 DBS 离子交换, 这与橙 II 在 Zn-LHS 中情况类似<sup>[14]</sup>, 这可能由于 DBS 与 Zn-LHS 晶体边界的层板存在强的相互作用而阻止 DBS 迁移进入层间。当反应温度为 60 °C 时, 体系生成一种半透明的乳状液, 这可能是 Zn-LHS 结构破坏生成的  $\text{ZnO}$  分散在 DBS 溶液中。另外, 离子交换制备 Zn-LHS-DBS 的层间距要高于共沉淀制备, 这可能与 DBS 在层间的排布方式不同有关<sup>[15]</sup>。此外, 值得指出的是, 本文所制备 Zn-LHS-DBS 插层材料的层间距大于 DBS 插层 LDH(2.68 nm)<sup>[9]</sup>, 这与 Zn-LHS 结构中存在四配位锌有关<sup>[16]</sup>。通过以上结果可

推断 Zn-LHS-DBS 超分子结构模型。DBS 的长轴方向尺寸约为 1.90 nm<sup>[17]</sup>, 层板厚度 0.48 nm, 每个锌四面体为 0.26 nm<sup>[14]</sup>, Zn-LHS-DBS 的通道高度约为 2.15 nm, 因此 DBS 可能以单层(共沉淀合成样品)或双层在 Zn-LHS 层间排列, 长烷基链在层间有一个重叠区域(离子交换法合成样品)(见图 3)。

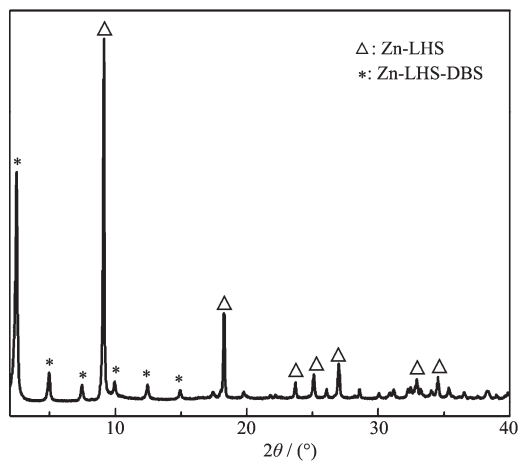


图 2 离子交换法合成 Zn-LHS-DBS 的 XRD 谱图

Fig.2 XRD patterns of Zn-LHS-DBS prepared by ion-exchanged method

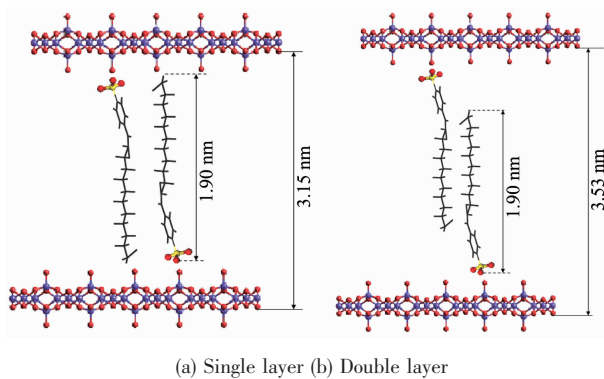


图 3 DBS 在 Zn-LHS 层间的排布方式

Fig.3 Arrangement of DBS intercalated into the interlayers of Zn-LHS

## 2.2 Zn-LHS-SBE- $\beta$ -CD 制备

首先采用离子交换法将 1.0 g Zn-LHS 和 1.5 g SBE- $\beta$ -CD 溶于 30 mL 水中, 分别在 30 和 60 °C 进行反应, 制备 SBE- $\beta$ -CD 插层 Zn-LHS 样品。结果表明, 30 °C 时合成样品在  $2\theta=3.1^\circ$  附近出现 Zn-LHS-SBE- $\beta$ -CD 插层材料的特征衍射峰(类似图 2), 但衍射峰强度很弱, 其层间距为 2.85 nm, 这表明有少量 SBE- $\beta$ -CD 插入层间。但 60 °C 合成样品呈现典型 ZnO 晶型, 这可能与 Zn-LHS 水热稳定性差有关。

由于离子交换法不能将 SBE- $\beta$ -CD 有效插层

Zn-LHS, 因此本文还采用共沉淀法通过改变  $\beta$ -CD 用量、NaOH 浓度、pH 值、晶化温度和时间等条件合成 Zn-LHS-SBE- $\beta$ -CD 插层材料。结果表明, 采用共沉淀法合成的样品中均都存在 Zn-LHS 和 Zn-LHS-SBE- $\beta$ -CD 两种层状结构, 且后者结构衍射峰强度相对很弱(类似图 2)。总之, 采用离子交换法和共沉淀法都不能有效合成单一 Zn-LHS-SBE- $\beta$ -CD, 这是因为一方面与  $\beta$ -CD 分子结构呈空心圆筒型有关, 另一方面与 Zn-LHS 水热稳定性差有关, 因为在较高温度下 Zn-LHS 将转变为 ZnO。

## 2.3 NiZn-LHS-SBE- $\beta$ -CD 制备及其超分子结构

首先取 0.5 g NiZn-LHS 与不同用量 SBE- $\beta$ -CD 在 60 °C 进行交換反应, 得到 NiZn-LHS-SBE- $\beta$ -CD 插层材料, 其 XRD 结果见图 4。图 4(a) 为 NiZn-LHS, 具有单一晶相六方结构<sup>[18]</sup>, (001) 和 (002) 面衍射峰  $2\theta$  分别在  $9.6^\circ$ 、 $19.4^\circ$  附近, 对应层间距为 0.92 nm。图 4(b~e) 中均出现了 NiZn-LHS- $\beta$ -CD 层状结构, 3 个特征衍射峰  $2\theta$  分别在  $3.9^\circ \sim 4.2^\circ$ 、 $7.7^\circ \sim 7.9^\circ$  和  $12.0^\circ \sim 12.1^\circ$  范围, 对应层间距为 2.12~2.25 nm, 表明 SBE- $\beta$ -CD 成功插入层间。NiZn-LHS 和 NiZn-LHS-SBE- $\beta$ -CD 在  $2\theta > 30^\circ$  衍射峰位置类似, 其对应为(a~b)面的衍射峰。另外, 所做样品均在  $10.0^\circ$  附近出现衍射峰(图中点虚线所示), 其强度随 SBE- $\beta$ -CD 用量增加先减小而后基本不变, 其对应结构应为 NiZn-LHS, 这是由于 NiZn-LHS 中  $\text{NO}_3^-$  不能完全被交换所致, 这也可通过后面红外光谱分析结果所证实。另外,  $\text{NO}_3^-$  存在可能是由于空间位阻导致 SBE- $\beta$ -CD 不能

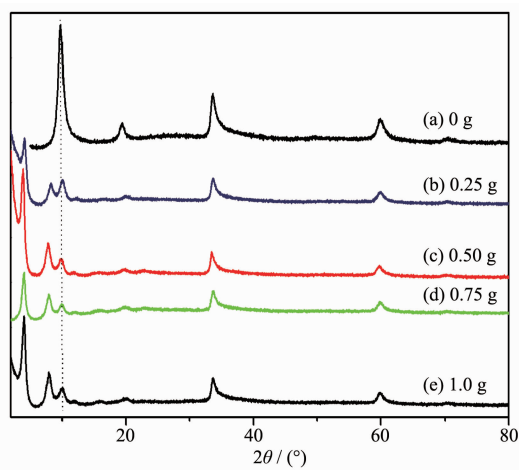


图 4 不同用量 SBE- $\beta$ -CD 合成 NiZn-LHS-SBE- $\beta$ -CD 的 XRD 谱图

Fig.4 XRD patterns of Zn-LHS- $\beta$ -CD prepared at different mass of SBE- $\beta$ -CD

完全中和四配位锌产生的正电荷,还需要少量  $\text{NO}_3^-$  来补偿。类似现象也出现在萘普生插层  $\text{MgAl-LDH}$ <sup>[19]</sup>。

由此,根据 XRD 结果和 SBE- $\beta$ -CD 的分子结构可推断出  $\text{NiZn-LHS-SBE-}\beta\text{-CD}$  结构模型。由于 SBE- $\beta$ -CD 的大口端尺寸为 1.53 nm, 小口端尺寸为 0.78 nm, 平放高度为 0.78 nm<sup>[20]</sup>, 而插层产物的层间距为 2.25 nm, 扣除层板厚度 0.48 nm 和 2 个锌四面体 0.52 nm, 层间距为 1.25 nm, 根据尺寸匹配及电荷平衡原则,SBE- $\beta$ -CD 可能以平行层板的方向位于层间。其插层结构示意图见图 5 所示。

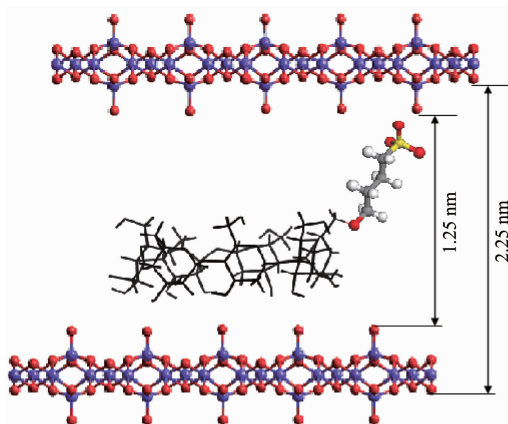


图 5 SBE- $\beta$ -CD 在 NiZn-LHS 层间的排布方式

Fig.5 Arrangement of SBE- $\beta$ -CD intercalated into the interlayers of NiZn-LHS

#### 2.4 红外光谱分析

Zn-LHS、DBS 和 Zn-LHS-DBS 红外光谱图见图 6。图 6a 为 Zn-LHS 红外光谱图, 其出现各类峰位置与文献<sup>[4]</sup>相吻合: 3 487 cm<sup>-1</sup> 为层板羟基的伸缩振动  $\nu_{\text{O-H}}$ , 3 579 cm<sup>-1</sup> 处尖的吸收峰应为晶格中羟基的伸缩振动<sup>[21]</sup>, 1 640 cm<sup>-1</sup> 处较弱吸收峰为水分子的弯曲振动  $\delta_{\text{H-O-H}}$ , 在 1 375 cm<sup>-1</sup> 处强的吸收峰为层间  $\text{NO}_3^-$  的伸缩振动。图 6b 为 DBS 的红外光谱图, 3480 cm<sup>-1</sup> 处吸收峰是层板及层间缔合羟基的伸缩振动  $\nu_{\text{O-H}}$ , 2 957、2 926 和 2 855 cm<sup>-1</sup> 为烷基链中 C-H 的伸缩振动  $\nu_{\text{C-H}}$ , 这表明碳链为全反式构象<sup>[22]</sup>, 1 600~1 400 cm<sup>-1</sup> 间的吸收峰来自苯环的骨架振动  $\nu_{\text{C=C}}$ , 1 195、1 131 cm<sup>-1</sup> 处吸收峰分别为 S=O 的不对称振动  $\nu_{\text{as(S=O)}}$  和对称振动  $\nu_{\text{s(S=O)}}$ , 1 043、1 012 cm<sup>-1</sup> 处的吸收峰来自苯环中 C-H 振动  $\nu_{\text{C-H}}$ <sup>[12]</sup>, 833 cm<sup>-1</sup> 处的吸收峰是 S-O 振动  $\nu_{\text{S-O}}$ 。图 6c 为 Zn-LHS-DBS 的红外光谱, 与 a 和 b 相比, 在 3 480 cm<sup>-1</sup> 出现一个宽峰, 这是由于 DBS 中磺酸根与层板羟基发生作用而

改变它们的振动模式; 层间  $\text{NO}_3^-$  特征吸收峰消失, 同时出现 DBS 特征吸收峰, 890~400 cm<sup>-1</sup> 范围出现层板金属键 M-O-M 的吸收峰。很明显, DBS 插入 Zn-LHS 层间后, 仍保持了原有的结构形态。此外, 图 6c 中  $\nu_{\text{as(S=O)}}$  出现在 1 181 cm<sup>-1</sup>, 向低波数移动 14 cm<sup>-1</sup>, 表明 DBS 与 Zn-LHS 层板间相互作用增强<sup>[23]</sup>, 这表明层板与 DBS 离子之间存在超分子作用包括静电和氢键作用。

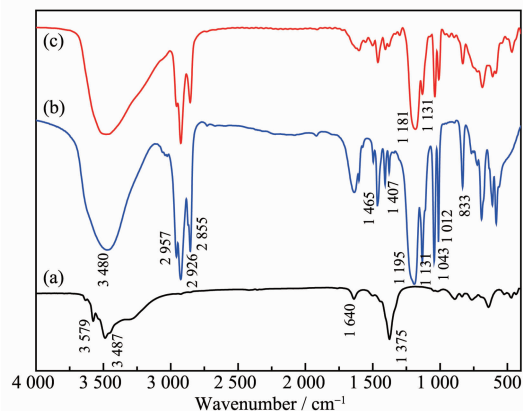


图 6 Zn-LHS、DBS 和 Zn-LHS-DBS 的 FTIR 谱图

Fig.6 FTIR spectra of Zn-LHS (a), DBS (b) and Zn-LHS-DBS (c)

$\text{NiZn-LHS-SBE-}\beta\text{-CD}$ 、 $\text{Zn-LHS-SBE-}\beta\text{-CD}$  和  $\text{NiZn-LHS-SBE-}\beta\text{-CD}$  红外光谱图见图 7。从图 7a 中 SBE- $\beta$ -CD 谱图可观察到, 在 3 427 cm<sup>-1</sup> 处出现宽而强吸收峰为羟基和物理吸附水的伸缩振动<sup>[24]</sup>, 2 933 cm<sup>-1</sup> 出现  $\text{CH}_2$  伸缩振动峰, 1 189 cm<sup>-1</sup> 处吸收峰为 S=O 的伸缩振动, 在 1 644 cm<sup>-1</sup> 处出现吸收峰为物理吸附水弯曲振动, 1 166、1 045、951 cm<sup>-1</sup> 出现环糊精中糖单元的 C-O 和 C-O-C 和环的 C-O-C 伸缩振动峰<sup>[24]</sup>。从图 7b 中 Zn-LHS-SBE- $\beta$ -CD 谱图可明显观察到 SBE- $\beta$ -CD 在 2 925、1 183、1 161、1 043 cm<sup>-1</sup> 处特征峰。然而, 图 7b 中 1 384 cm<sup>-1</sup> 处仍出现层间  $\text{NO}_3^-$  特征吸收峰, 且强度很大, 这再次说明只有少量 SBE- $\beta$ -CD 插层 Zn-LHS 中。另外, 图 7e 中 NiZn-LHS 出现各类峰与 Zn-LHS 基本一致。图 7d 中 NiZn-LHS-SBE- $\beta$ -CD 谱图中可明显观察到 SBE- $\beta$ -CD 特征峰位置: 2 930、1 187、1 165、1 044 cm<sup>-1</sup>, 同时在 1 384 cm<sup>-1</sup> 出现  $\text{NO}_3^-$  特征吸收峰(图中点线所示), 其强度很弱, 这说明 NiZn-LHS 层间  $\text{NO}_3^-$  不能完全被 SBE- $\beta$ -CD 取代。另外, 880~400 cm<sup>-1</sup> 范围出现 NiZn-LHS 层板金属键 M-O-M 吸收峰。此外, 还发现, 插层后 SBE- $\beta$ -CD 特征峰位置略向低波数移

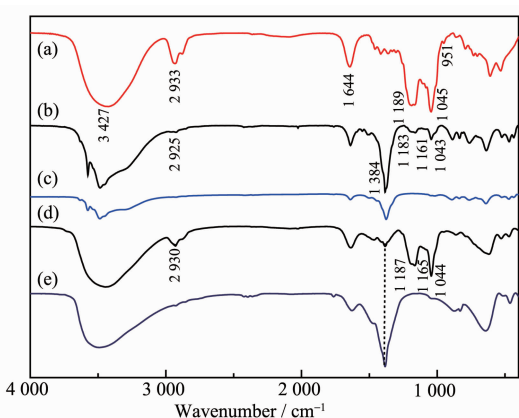


图 7 SBE- $\beta$ -CD、Zn-LHS-SBE- $\beta$ -CD、Zn-LHS、NiZn-LHS-SBE- $\beta$ -CD 和 NiZn-LHS 的 FTIR 谱图

Fig.7 FTIR spectra of SBE- $\beta$ -CD (a), Zn-LHS-SBE- $\beta$ -CD (b), Zn-LHS (c), NiZn-LHS-SBE- $\beta$ -CD (d) and NiZn-LHS (e)

动，且在 Zn-LHS 中程度更大些，这是由于层板与 SBE- $\beta$ -CD 离子之间存在超分子作用而造成。

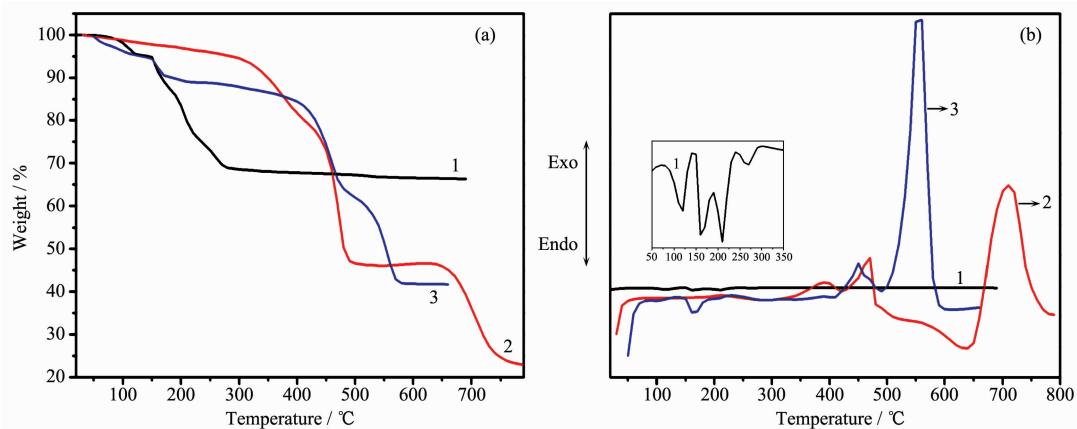


图 8 Zn-LHS、DBS 和 Zn-LHS-DBS 的 TG/DTA 曲线

Fig.8 TG (a) and DTA (b) curves of Zn-LHS (1), DBS (2) and Zn-LHS-DBS (3)

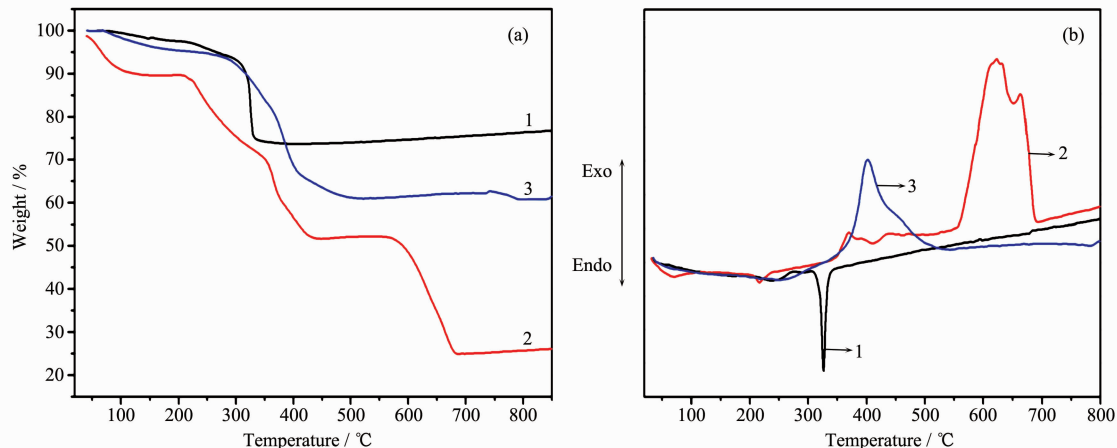


图 9 NiZn-LHS、SBE- $\beta$ -CD 和 NiZn-LHS-SBE- $\beta$ -CD 的 TG/DTA 曲线

Fig.9 TG (a) and DTA (b) curves of NiZn-LHS (1), SBE- $\beta$ -CD (2) and NiZn-LHS-SBE- $\beta$ -CD (3)

## 2.5 热稳定性分析

图 8 给出 Zn-LHS、DBS 和 Zn-LHS-DBS 的 TG/DTA 曲线。从图 8b 中 Zn-LHS 的 DTA 曲线在 300 °C 之前出现一些吸热峰 (120、160、210 和 270 °C)(见图 8b 中插入图)，这与文献一致<sup>[25]</sup>。120~210 °C 间吸热峰归于吸附水和结晶水的脱除，270 °C 处吸热峰伴随着层板羟基及层间  $\text{NO}_3^-$  的脱除，并失去其层状结构，形成最终产物 ZnO(XRD 证实)。DBS 的 TG 曲线在 335~480 °C 为 DBS 的分解过程，在 DTA 曲线上对应着 2 个放热峰(390、469 °C)；在 640~787 °C 归于 DBS 的燃烧过程，对应 1 个强放热峰(708 °C)。Zn-LHS-DBS 的 DTA 曲线有 3 个明显峰：160 °C 处吸热峰对应于氢氧化物盐表面吸附水和结晶水的脱除；450 °C 处放热峰对应 DBS 分解；550 °C 处强放热峰对应于 DBS 燃烧。对比可发现，插层后 DBS 分解温度提高约 60 °C。另外，相比 DBS 在 MgAl-LDH 中插层<sup>[26]</sup>，DBS 在 Zn-LHS 层间具有更高的热稳定性。

图9给出NiZn-LHS-SBE- $\beta$ -CD和NiZn-LHS-SBE- $\beta$ -CD的TG/DTA曲线。NiZn-LHS有2个明显失重平台:第一个平台(170~270 °C)对应于NiZn-LHS中结晶水脱除,在DTA对应1个吸热峰(237 °C);第二个平台(300~345 °C)对应于NiZn-LHS层板羟基及层间NO<sub>3</sub><sup>-</sup>脱除,在DTA对应1个强吸热峰(326 °C),而这2个吸热峰位置明显滞后于Zn-LHS,文献<sup>[18]</sup>中也有类似现象。SBE- $\beta$ -CD有4个失重平台:第一个平台(30~100 °C)是SBE- $\beta$ -CD吸附水和空间水的脱除引起;第二个平台(200~270 °C)归属于SBE- $\beta$ -CD熔融过程,在DTA曲线上对应着1个吸热峰(216 °C);第三个平台(350~430 °C)归于SBE- $\beta$ -

CD分解过程,在DTA曲线上对应着1个放热峰(360 °C);第四个平台(540~690 °C)属于SBE- $\beta$ -CD完全燃烧过程。从NiZn-LHS- $\beta$ -CD的DTA曲线可看出:248 °C归属于层板羟基脱除和环糊精熔融过程;400 °C处强放热峰是由于SBE- $\beta$ -CD分解和燃烧引起。对比可发现,插层后SBE- $\beta$ -CD分解温度提高约40 °C,表明插层后SBE- $\beta$ -CD的热稳定性显著提高。

## 2.6 SEM分析

图10为Zn-LHS-DBS和NiZn-LHS- $\beta$ -CD的SEM图。Zn-LHS-DBS和NiZn-LHS- $\beta$ -CD均显现出典型的片状结构,NiZn-LHS- $\beta$ -CD晶粒尺寸为50~100 nm,Zn-LHS-DBS晶粒尺寸为100~250 nm。

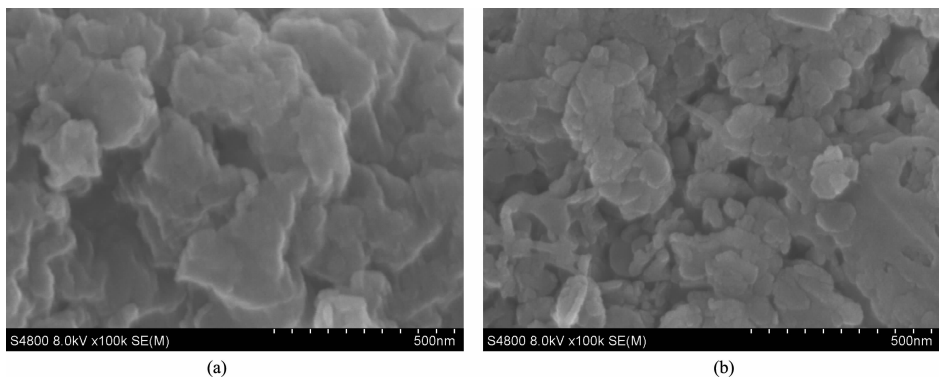


图10 Zn-LHS-DBS 和 NiZn-LHS- $\beta$ -CD 的 SEM 图  
Fig.10 SEM images of Zn-LHS-DBS (a) and NiZn-LHS- $\beta$ -CD (b)

## 3 结 论

采用共沉淀法在DBS浓度为0.19~0.38 mol·L<sup>-1</sup>、pH=6.0~7.0和水热温度60~100 °C条件下成功合成晶型单一且结构完整的Zn-LHS-DBS,其层间距为3.15 nm,大于文献中LDH-DBS,这与Zn-LHS结构中具有四配位锌有关。采用离子交换法可合成结构完整的NiZn-LHS-SBE- $\beta$ -CD,对应层间距2.12~2.25 nm。另外,层间仍存在少量NO<sub>3</sub><sup>-</sup>,这可能由于位阻导致SBE- $\beta$ -CD不能完全中和四配位锌带来的正电荷,还需少量NO<sub>3</sub><sup>-</sup>来补偿。无论离子交换还是共沉淀法都不能合成单一晶型Zn-LHS-SBE- $\beta$ -CD,这可能与SBE- $\beta$ -CD分子结构以及Zn-LHS水热稳定性差有关。此外,热稳定分析表明DBS和SBE- $\beta$ -CD在氢氧化物盐层间具有较高的热稳定性,这是由于氢氧化物盐层板和客体存在超分子作用所导致。

## 参考文献:

- [1] Arízaga G G C. *J. Solid State Chem.*, 2012, **185**:150-155

- [2] Demel J, Kubát P, Jirka I, et al. *J. Phys. Chem. C*, 2010, **114**:16321-16328
- [3] Rojas R, Giacomelli C E. *Colloid Surf. A*, 2013, **419**:166-173
- [4] Yang J H, Han Y S, Park M, et al. *Chem. Mater.*, 2007, **19**:2679-2685
- [5] Biswick T D, Park H, Shul Y G, et al. *J. Phys. Chem. Solids*, 2010, **71**:647-649
- [6] Biswick T, Park D H, Choy J H. *J. Phys. Chem. Solids*, 2012, **73**:1510-1513
- [7] Bull R M R, Markland C, Williams G R, et al. *J. Mater. Chem.*, 2011, **21**:1822-1828
- [8] Hussein M Z, Hashim N, Yahaya A H, et al. *Solid State Sci.*, 2010, **12**:770-775
- [9] Wang B, Zhang H, Evans David G, et al. *Mater. Chem. Phys.*, 2005, **92**:190-196
- [10] Liu X L, Wei M, Wang Z L, et al. *J. Phys. Chem. C*, 2008, **112**:17517-17524
- [11] Nakayama H, Kuwano K, Tsuhako M. *J. Phys. Chem. Solids*, 2008, **69**:1552-1555
- [12] Rajamathi J T, Ravishankar N, Rajamathi M. *Solid State Sci.*, 2005, **7**:195-199

- [13]bin Hussein M Z, Ghotbi M Y, Yahaya A H, et al. *Solid State Sci.*, **2009**,**11**:368-375
- [14]Marangoni R, Ramos L P, Wypych F. *J. Colloid Interface Sci.*, **2009**,**330**:303-309
- [15]XING Fang-Fang(邢方方), NI Zhe-Ming(倪哲明), WANG Ping(王平), et al. *Acta Chim. Sin.(化学学报)*, **2007**,**65**(23): 2738-2742
- [16]Newman S P, Jones W C. *J. Solid State Chem.*, **1999**,**148**: 26-40
- [17]Quan Z L, Yang H, Zheng B, et al. *Colloid Surf. A*, **2009**, **348**:164-169
- [18]Rojas R, Ángeles Ulibarri M, Barriga C, et al. *Appl. Clay Sci.*, **2010**,**49**:176-181
- [19]del Arco M, Gutiérrez S, Martín C, et al. *J. Solid State Chem.*, **2004**,**177**:3954-3962
- [20]Wang J, Wei M, Rao G Y, et al. *Solid State Chem.*, **2004**, **177**:366-371
- [21]Cursino A C T, Gardolinski da Costa Gardolinski J E F. *J. Colloid Interface Sci.*, **2010**,**347**:49-55
- [22]MacPhail R A, Strauss H L, Snyder R G, et al. *J. Phys. Chem.*, **1984**,**88**:334-341
- [23]Moujaid E M, Inacio J, Besse J P, et al. *Micro. Meso. Mater.*, **2003**,**57**:37-46
- [24]Pérez-Ramírez J, Mul G, Kapteijn F, et al. *J. Mater. Chem.*, **2001**,**11**:821-830
- [25]Wypych F, Arízaga G G C, da Costa Gardolinski J E F. *J. Colloid Interface Sci.*, **2005**,**283**:130-138
- [26]WANG Bin(王斌). *Thesis for the Master's Degree of Beijing University of Chemical Technology(北京化工大学硕士毕业论文)*, **2005**.